

ЭЛЕКТРОДИНАМИКА И РАСПРОСТРАНЕНИЕ РАДИОВОЛН

УДК 538.566.2;621.372.8

ОСЕВЫЕ И ВИНТОВЫЕ МЕТАЧАСТИЦЫ ИМПУЛЬСНЫХ ВОЛНОВЫХ ПОЛЕЙ

© 2019 г. В. В. Шевченко*

Институт радиотехники и электроники им. В.А. Котельникова РАН,
ул. Моховая, 11, стр. 7, Москва, 125009 Российская Федерация

*E-mail: sto@cplire.ru

Поступила в редакцию 25.03.2019 г.

После доработки 17.04.2019 г.

Принята к публикации 19.04.2019 г.

Представлены свойства импульсных волновых полей осевых и винтовых метачастиц. Рассмотрен пример излучения таких метачастиц апертурным источником. Приведен расчет ширины поля и плотности энергии основной (нулевой) метачастицы в дальней зоне от излучающей апертуры.

DOI: 10.1134/S0033849419110238

1. В работе [1] были введены понятия метачастиц импульсных волновых полей (электромагнитного, акустического), направленно излученных апертурными источниками (антеннами, лазерами, акустическими мембранами) и распространяющихся в свободном пространстве и в однородных изотропных средах. Структурные функции полей метачастиц представлены в цилиндрических координатах r , φ , z (рис. 1). В работе [2] рассмотрен пример излучения метачастиц с осесимметричными, не зависящими от угла φ структурными функциями полей при излучении апертурным источником осесимметричного волнового импульса в направлении оси z .

В данной статье рассмотрены свойства и излучение волнового импульса с неосесимметричным полем, представленного здесь несколько иначе, чем в [1]: в виде набора осевых и винтовых метачастиц. При этом используются указанные упрощенные названия метачастиц: с осесимметричными полями – осевые метачастицы, а с неосесимметричными полями – винтовые метачастицы. Случай набора только осевых метачастиц, как сказано выше, рассмотрен в статье [2].

2. Функции полей осевых и винтовых метачастиц представим в виде

$$f_{lmn}(r, \varphi, z, t) = \bar{C}_l \bar{U}_l(z, t) \bar{C}_{mn} \bar{V}_n^{(m)}(r, \varphi, z) \times \exp[-i(kz - \omega t)], \quad (1)$$

где $l = 0, 1, 2, \dots$, $m = 0$ у осевых метачастиц, $m = 1, 2, 3, \dots$ у винтовых метачастиц, $n = 0, 1, 2, \dots$, \bar{C}_l , \bar{C}_{mn} – амплитудные константы, $k = 2\pi/\lambda = \omega/v$, λ – длина волны, ω – круговая частота поля, v – скорость распространения импульсных волновых

метачастиц, $v = c$ – для электромагнитных метачастиц в свободном пространстве, t – время.

Структурную функцию полей метачастиц $\bar{U}_l(z, t)$ представим с учетом внесенной в [2] поправки в виде

$$\bar{U}_l(z, t) = U_l(\zeta) = N_l^{-1} H_l(\zeta) \exp(-\zeta^2/2), \quad (2)$$

где $N_l = (2^l l! \sqrt{\pi})^{1/2}$, $H_l(\zeta)$ – полином Эрмита [3–10],

$$\zeta = (z - vt)/L = \delta_L (kz - \omega t), \quad \delta_L = \frac{1}{kL} = \frac{1}{\pi 2L} \lambda, \quad \delta_L^2 \ll 1 \quad \text{при} \quad \frac{\lambda}{2L} \leq 1, \quad (3)$$

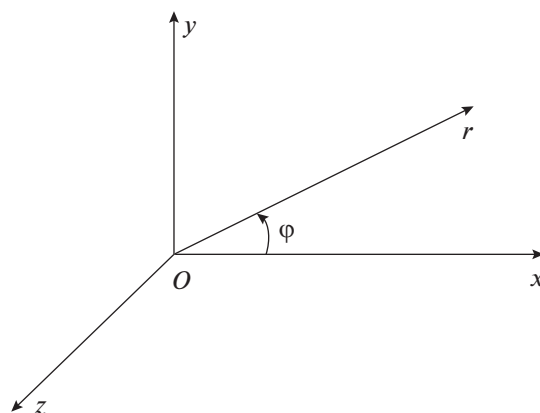


Рис. 1. Применяемая система координат.

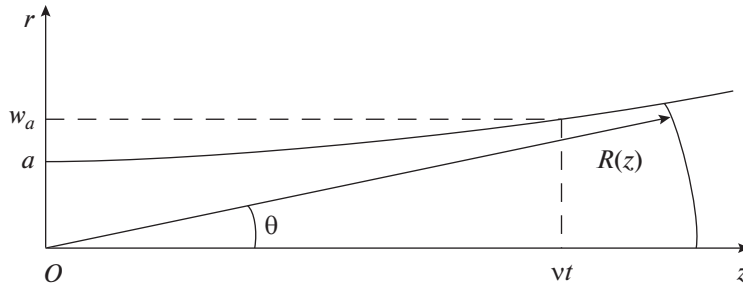


Рис. 2. Функция изменения эффективной полуширины (радиуса) поля метачастицы $w_a(z)$ при распространении метачастицы вдоль оси z [1], где предельный угол $\theta \leq \text{tg}\theta = \lim_{z \rightarrow \infty} (w_a/z) = \delta_a = 1/(ka)$.

L – эффективная полудлина импульса поля метачастицы вдоль оси z , ω – средняя (несущая) частота узкой, при условии (3), полосы частот импульса метачастицы [2].

Аналогично представим функцию $\bar{V}_n^{(m)}(r, \varphi, z)$ в виде

$$\begin{aligned} \bar{V}_n^{(m)}(r, \varphi, z) &= V_n^{(m)}(\rho, \varphi, z) = \\ &= (\bar{N}_{mn})^{-1} W_n^{(m)}(\rho, z) \exp(-im\varphi), \end{aligned} \quad (4)$$

где $\bar{N}_{mn} = \sqrt{2\pi} \cos \sigma N_{mn}$, $N_{mn} = [(m+n)!/n!]^{1/2}$,

$$\begin{aligned} W_n^{(m)}(\rho, z) &= \cos \sigma K_n^{(m)}(\rho) \times \\ &\times \exp\left\{-\rho^2/2 + i\left[(1+m+2n)\sigma - u_z \rho^2/2\right]\right\}, \end{aligned} \quad (5)$$

$K_n^{(m)}(\rho) = \rho^m L_n^{(m)}(\rho^2)$, $L_n^{(m)}(\rho^2)$ – обобщенный полином Лагерра [3–10], $\rho = r/w_a$, $w_a = a/\cos \sigma$, $\sigma = \arctg u_z$, $\cos \sigma = (1 + u_z^2)^{-1/2}$, $u_z = \delta_a z/a = \delta_a^2 k z$,

$$\delta_a = \frac{1}{ka} = \frac{1}{\pi 2a} \frac{\lambda}{2a}, \quad \delta_a^2 \ll 1 \quad \text{при} \quad \frac{\lambda}{2a} \leq 1, \quad (6)$$

a – радиус круглой излучающей апертуры (рис. 2).

Для структурных функций (2), (4) выполняются условия ортонормировки [1, 2, 5]:

$$\int_{-\infty}^{\infty} U_l(\zeta) U_r(\zeta) d\zeta = \begin{cases} 1 & \text{при } l = r, \\ 0 & \text{при } l \neq r, \end{cases} \quad (7)$$

$$\begin{aligned} \int_0^{\infty} \left[\int_{-\pi}^{\pi} V_n^{(m)}(\rho, \varphi, z) V_{n'}^{(m')*}(\rho, \varphi, z) d\varphi \right] 2\rho d\rho = \\ = \begin{cases} 1 & \text{при } m' = m, n' = n, \\ 0 & \text{при } m' \neq m, \\ 0 & \text{при } n' \neq n. \end{cases} \end{aligned} \quad (8)$$

Последнее выражение следует из того, что при этом выполняются соотношения [6–10]:

$$\begin{aligned} \int_{-\pi}^{\pi} \exp(-im\varphi) [\exp(-im'\varphi)]^* d\varphi = \\ = \frac{2 \sin(m-m')\pi}{m-m'} = \begin{cases} 2\pi & \text{при } m' = m, \\ 0 & \text{при } m' \neq m, \end{cases} \end{aligned} \quad (9)$$

$$\begin{aligned} \int_0^{\infty} W_n^{(m)}(\rho, z) W_{n'}^{(m')*}(\rho, z) 2\rho d\rho = \\ = \begin{cases} \cos^2 \sigma N_{mn}^2 & \text{при } n' = n, \\ 0 & \text{при } n' \neq n. \end{cases} \end{aligned} \quad (10)$$

3. Условия ортонормировки (7), (8) дают возможность стандартным способом [1–5] вычислять амплитудные коэффициенты \bar{C}_l , \bar{C}_{mn} при разложении в ряд по метачастицам поле волнового импульса, излученного источником, апертура которого расположена в плоскости $z = 0$ (см. рис. 2). Представим функцию поля такого импульса на апертуре в виде

$$f(r, \varphi, 0, t) = M(\zeta, \rho) U(\zeta) V(\rho, \varphi) \exp(i\omega t), \quad (11)$$

где $\zeta = -vt/L$, $\rho = r/a$ при $z = 0$,

$$M(\zeta, \rho) = \begin{cases} 1 & \text{при } -1 \leq \zeta \leq 1, \rho \leq 1, \\ 0 & \text{при } \zeta < -1, 1 < \zeta, 1 < \rho, \end{cases} \quad (12)$$

$$U(\zeta) = \sum_{l=0}^{\infty} \bar{C}_l U_l(\zeta), \quad (13)$$

$$V(\rho, \varphi) = \sum_{m=0}^{\infty} \sum_{n=0}^{\infty} \bar{C}_{mn} V_n^{(m)}(\rho, \varphi, 0).$$

Тогда коэффициенты разложения поля излученного импульса равны

$$\begin{aligned} \bar{C}_l &= \int_{-1}^1 U(\zeta) U_l(\zeta) d\zeta, \\ \bar{C}_{mn} &= \int_0^1 \left[\int_{-\pi}^{\pi} V(\rho, \varphi) V_n^{(m)*}(\rho, \varphi, 0) d\varphi \right] 2\rho d\rho, \end{aligned} \quad (14)$$

причем не только для разложения поля импульса на апертуре, т.е. в плоскости $z = 0$, но и в пространстве при $z > 0$:

$$\bar{U}(z, t) = U(\zeta) = \sum_{l=0}^{\infty} \bar{C}_l U_l(\zeta), \tag{15}$$

$$\bar{V}(r, \varphi, z) = V(\rho, \varphi, z) = \sum_{m=0}^{\infty} \sum_{n=0}^{\infty} \bar{C}_{mn} V_n^{(m)}(\rho, \varphi, z),$$

где $\zeta = (z - vt)/L$, $\rho = (r/a)\cos\sigma$.

В результате функцию поля импульса, излученного апертурным источником, можно представить в виде суммы функций полей метачастиц:

$$\begin{aligned} f(r, \varphi, z, t) &= \sum_{l=0}^{\infty} \sum_{m=0}^{\infty} \sum_{n=0}^{\infty} f_{lmn}(r, \varphi, z, t) = \\ &= \sum_{l=0}^{\infty} \bar{C}_l U_l(\zeta) \sum_{m=0}^{\infty} \sum_{n=0}^{\infty} \bar{C}_{mn} V_n^{(m)}(\rho, \varphi, z) \times \\ &\quad \times \exp[-i(kz - \omega t)], \end{aligned} \tag{16}$$

где амплитудные коэффициенты \bar{C}_l, \bar{C}_{mn} вычисляются по формулам (14).

При этом относительная (безразмерная [1, 2]) энергия, переносимая излученным импульсом, равна сумме долей энергии, переносимых метачастицами:

$$\bar{\Theta} = \sum_{l=0}^{\infty} \sum_{m=0}^{\infty} \sum_{n=0}^{\infty} \bar{\Theta}_{lmn}, \tag{17}$$

где соответствующие доли энергии метачастиц равны

$$\bar{\Theta}_{lmn} = \bar{C}_l^2 \bar{C}_{mn}^2. \tag{18}$$

4. Рассмотрим конкретный пример. Пусть функции $U(\zeta), V(\rho, \varphi)$ в выражении (11) для поля на апертуре источника, т.е. при $z = 0$, имеют вид

$$\begin{aligned} U(\zeta) &= e^{(\sqrt[4]{\pi}/2)} \exp(-\zeta^2/2), \\ V(\rho, \varphi) &= (e\sqrt{2/\pi}) \exp[-(\rho^2 + i\varphi)/2]. \end{aligned} \tag{19}$$

Тогда для четных и нечетных $l: l = 2\nu, l = 2\nu - 1$, получим, как в работе [2]:

$$\bar{C}_{\nu=0} = 2, \quad \bar{C}_{2\nu} = \mp \frac{1}{\sqrt{(2\nu)!}}, \quad \bar{C}_{2\nu-1} = 0, \tag{20}$$

где $\nu = 1, 2, 3, \dots$, а на основании [6–10] и изложенного выше получим

$$\bar{C}_{mn} = C_m C_{mn}, \tag{21}$$

где $m = 0, 1, 2, \dots, n = 0, 1, 2, \dots$,

$$\begin{aligned} C_m &= \frac{1}{2\pi} \int_{-\pi}^{\pi} \exp[i(m-1/2)\varphi] d\varphi = \\ &= \frac{2 \sin[(2m-1)\pi/2]}{\pi(2m-1)} = \frac{2(-1)^{m-1}}{\pi(2m-1)}, \end{aligned} \tag{22}$$

$$\begin{aligned} C_{mn} &= \frac{e}{N_{mn}} \int_0^1 \exp(-\rho^2) K_n^{(m)}(\rho) 2\rho d\rho = \\ &= \frac{e}{N_{mn}} \int_0^1 \exp(-x) x^{m/2} L_n^{(m)}(x) dx = \end{aligned} \tag{23}$$

$$= \frac{e}{[(m+n)!n!]^{1/2}} \sum_{k=0}^{\infty} \frac{(m+n+k)!(-1)^k}{(m/2+k+1)(m+k)!k!},$$

$$C_{00} = e \sum_{k=0}^{\infty} \frac{(-1)^k}{(k+1)!} = e - 1, \quad C_{01} = e \sum_{k=0}^{\infty} \frac{(-1)^k}{(k)!} = 1,$$

$$C_{10} = 2e \sum_{k=0}^{\infty} \frac{(-1)^k}{(2k+3)k!}, \quad C_{11} = e\sqrt{2} \sum_{k=0}^{\infty} \frac{(k+2)(-1)^k}{(2k+3)k!}, \tag{24}$$

и аналогично остальные C_{mn} . Здесь представлены первые четыре коэффициента, имеющие наибольшие значения величины модуля.

Оценочный численный расчет энергии рассматриваемого импульса проведем приближенно по формулам (20)–(24), учитывая только старшие (существенные по величине модулей) коэффициенты $\bar{C}_{2\nu}, \bar{C}_{mn}$ в разложении поля излученного импульса. Для первых восьми метачастиц получим $\bar{C}_{2\nu}: \bar{C}_0 = 2, \bar{C}_2 = -1/\sqrt{2}; C_m: C_0 = 2/\pi, C_1 = 2/\pi; C_{mn}: C_{00} = e - 1, C_{11} = 1.07, C_{01} = 1, C_{10} = 0.88$. Доли энергии метачастиц при этом равны: $\bar{\Theta}_{000} = 4.79, \bar{\Theta}_{011} = 1.85, \bar{\Theta}_{001} = 1.62, \bar{\Theta}_{010} = 1.27, \bar{\Theta}_{100} = 0.60, \bar{\Theta}_{111} = 0.23, \bar{\Theta}_{101} = 0.20, \bar{\Theta}_{110} = 0.16$. Суммарная же относительная энергия составляет $\bar{\Theta}(\Sigma = 8) = 10.72$. Поскольку первые четыре метачастицы имеют энергию $\bar{\Theta}(\Sigma = 4) = 9.53$, то оказывается, что эти метачастицы (две осевые с $m = 0$ и две винтовые с $m = 1$) переносят около 90% энергии рассматриваемого импульса, так как $\bar{\Theta}(\Sigma = 4)/\bar{\Theta}(\Sigma = 8) \approx 0.9$.

5. В заключение приведем оценочный расчет размера ширины поля и плотности энергии нулевой (000) метачастицы в общем случае и отдельно для дальней зоны от излучающей апертуры.

Эффективный размер полуширины (радиуса) поля нулевой метачастицы (см. п. 2) равен

$$w_a = a \left[1 + \left(\frac{\delta_a z}{a} \right)^2 \right]^{1/2} \quad \text{и} \quad w_a \approx \delta_a z = \frac{\lambda z}{2\pi a} \tag{25}$$

при $(\delta_a z/a)^2 \gg 1$. При следующих параметрах: радиусы апертуры источника света $a = 5; 0.5$ и 0.05 м, длина волны $\lambda = 0.4 \times 10^{-6}$ м и расстояние от Земли до Луны $z \approx 400 \times 10^6$ м [11], приведем в качестве примера размеры светового пятна на поверхности Луны: $2w_a \approx 10\sqrt{2}, 100$ и 1000 м.

Средняя за период колебания плотность энергии метачастицы изменяется вдоль оси z от значения $\Pi_a = \bar{\Theta}_{000}/V_a$ в области апертуры до $\Pi_w = \bar{\Theta}_{000}/V_w$, где отношение эффективных объемов поля метачастицы $V_w/V_a = a^2/w_a^2$.

Отсюда имеем

$$\frac{\Pi_w}{\Pi_a} = \left(\frac{a}{w_a}\right)^2 = \left[1 + \left(\frac{\delta_a z}{a}\right)^2\right]^{-1} \quad \text{и} \quad \frac{\Pi_w}{\Pi_a} \approx \left(\frac{2\pi a^2}{\lambda z}\right)^2 \quad (26)$$

при $(\delta_a z/a)^2 \gg 1$. Для отношения указанных плотностей энергии метачастицы вблизи поверхности Луны и в области около апертуры источника на Земле в приведенном выше примере получим $\Pi_w/\Pi_a \approx 0.5, 10^{-4}, 10^{-6}$.

Работа выполнена за счет бюджетного финансирования в рамках государственного задания по теме 0030-2019-0014.

СПИСОК ЛИТЕРАТУРЫ

1. Шевченко В.В. // РЭ. 2018. Т. 63. № 9. С. 899.
2. Шевченко В.В. // РЭ. 2019. Т. 64. № 3. С. 265.
3. Вайнштейн Л.А. Электромагнитные волны. М.: Радио и связь, 1988.
4. Katsenelenbaum B.Z. High-frequency Electrodynamics. Weinheim: Wiley-VCH, 2006.
5. Гоноровский И.С. Радиотехнические цепи и сигналы. М.: Дрофа, 2006.
6. Бронштейн И.Н., Семендяев К.А. Справочник по математике. М.: Наука, 1964.
7. Градштейн И.С., Рыжик И.М. Таблицы интегралов, сумм, рядов и произведений. М.: Физматгиз, 1962.
8. Справочник по специальным функциям. Сб. статей / Под ред. Абрамовица М. и Стиган И. М.: Наука, 1979.
9. Прудников А.П., Брычков Ю.А., Маричев О.И. Интегралы и ряды. Специальные функции. М.: Наука, 1983.
10. Прудников А.П., Брычков Ю.А., Маричев О.И. Интегралы и ряды. Элементарные функции. М.: Наука, 1981.
11. Шевченко В.В. Луна. Физическая энциклопедия. М.: Сов. энциклопедия, 1990. Т. 2. С. 613.